

А К А Д Е М И Я Н А У К С С С Р
СИБИРСКОЕ ОТДЕЛЕНИЕ
А В Т О М Е Т Р И Я

№ 1

1967

УДК 681.142.621

А. М. ЭЛЬБИРТ

(Баку)

ТРАНСФОРМАТОРНЫЙ ПРЕОБРАЗОВАТЕЛЬ КОД — АНАЛОГ

Рассмотрены схемы трансформаторного преобразователя десятичного и двоичного кодов в синусно-косинусные напряжения переменного тока. Проведен анализ некоторых источников погрешностей преобразования. Даны рекомендации по компенсации погрешностей из-за потерь напряжения в обмотках трансформаторов преобразователя. Приведены примеры использования преобразователя для преобразования кода в угол поворота с дистанционной передачей угла.

При применении устройств информационно-вычислительной техники в системах управления возникает необходимость преобразования кодовой информации в угол поворота вала для управления объектами или индикационными устройствами. Преобразование и передача информации на удаленные объекты в ряде случаев производится по линии: цифровая вычислительная машина — преобразователь кода в угол поворота — датчик дистанционной следящей системы — канал связи — приемник дистанционной следящей системы — объект. В качестве датчиков и приемников дистанционных следящих систем обычно применяются синусно-косинусные вращающиеся трансформаторы (СКВТ). Осуществление преобразования цифрового кода в напряжения переменного тока, пропорциональные синусу и косинусу цифрового кода, т. е. эквивалентные выходным напряжениям СКВТ — датчика, позволит сократить общий объем оборудования в линии связи. Целью настоящей работы является рассмотрение схем трансформаторных преобразователей двоичного и десятичного кодов в синусно-косинусные напряжения переменного тока, анализ схемы замещения и вывод формулы для определения погрешности из-за потерь напряжения в обмотках трансформаторов.

СХЕМА ПРЕОБРАЗОВАТЕЛЯ

На рис. 1 представлена схема трансформаторного цифро-аналогового преобразователя трехразрядных десятичных кодов в переменные напряжения, пропорциональные синусу и косинусу кода. Первый каскад преобразователя состоит из трансформатора T_{p1} и переключателя P_1 . Трансформатор имеет две вторичные обмотки — синусную и косинусную. Синусная и косинусная обмотки имеют по десять выводов с коэффициентами трансформации $\sin n\alpha$ и $\cos n\alpha_0$ при $n=0 \div 9$ и $\alpha_0=36^\circ$.

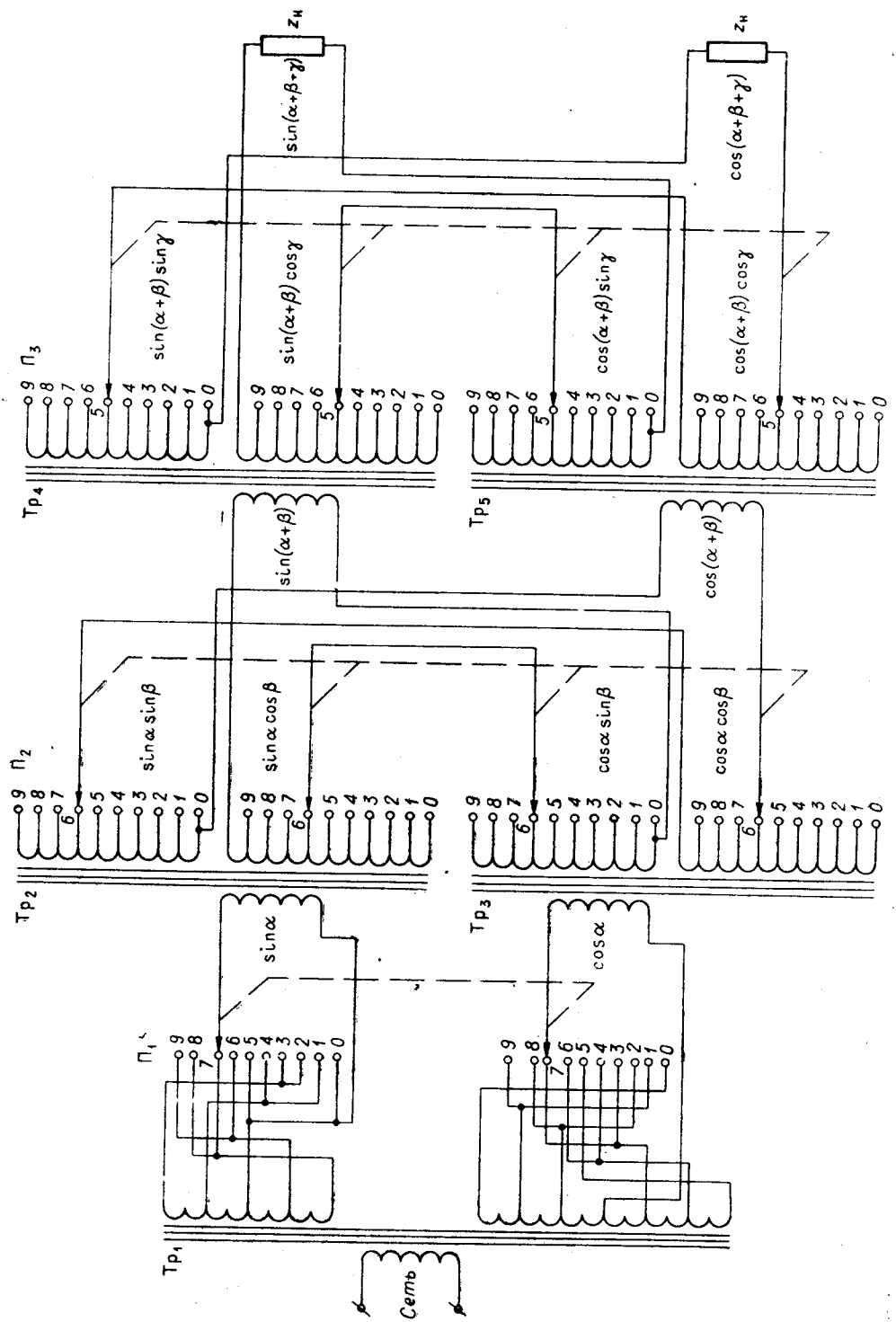


Рис. 1.

Переключатель отводов устанавливается в положение, соответствующее цифре в старшем разряде цифрового кода (n). Выходные напряжения трансформатора T_{p_1} обозначим: $\sin \alpha = \sin n\alpha_0$; $\cos \alpha = \cos n\alpha_0$.

Если принять сетевое напряжение за единицу, то на трансформаторы второго каскада T_{p_2} и T_{p_3} подаются соответственно напряжения $\sin \alpha$ и $\cos \alpha$.

Трансформаторы T_{p_2} и T_{p_3} имеют по две вторичные обмотки — синусную и косинусную, коэффициенты трансформации которых соответственно равны $\sin \beta = \sin m \frac{\alpha_0}{10}$, $\cos \beta = \cos m \frac{\alpha_0}{10}$ при $m = 0 \dots 9$.

Переключатель P_2 устанавливается в положение, соответствующее цифре среднего разряда (m). Вторичные обмотки трансформаторов T_{p_2} и T_{p_3} соединены таким образом, что на трансформатор T_{p_4} третьего каскада подается $\sin \alpha \cos \beta + \cos \alpha \sin \beta = \sin(\alpha + \beta) = \sin(n\alpha_0 + m \frac{\alpha_0}{10})$, а на трансформатор T_{p_5} третьего каскада — $\sin \alpha \sin \beta - \cos \alpha \cos \beta = \cos(\alpha + \beta) = \cos(n\alpha_0 + m \frac{\alpha_0}{10})$.

Коэффициенты трансформации вторичных обмоток трансформаторов T_{p_4} и T_{p_5} равны $\sin \gamma = \sin k \frac{\alpha_0}{100}$ и $\cos \gamma = \cos k \frac{\alpha_0}{100}$ при $k = 0 \dots 9$. Переключатель P_3 устанавливается в положение, соответствующее цифре младшего разряда (k). На выходные клеммы преобразователя подаются напряжения:

$$\begin{aligned} \sin(\alpha + \beta) \cos \gamma + \cos(\alpha + \beta) \sin \gamma &= \sin(\alpha + \beta + \gamma) = \\ &= \sin(n\alpha_0 + m \frac{\alpha_0}{10} + k \frac{\alpha_0}{100}); \end{aligned} \quad (1)$$

$$\begin{aligned} \sin(\alpha + \beta) \sin \gamma - \cos(\alpha + \beta) \cos \gamma &= \cos(\alpha + \beta + \gamma) = \\ &= \cos(n\alpha_0 + m \frac{\alpha_0}{10} + k \frac{\alpha_0}{100}). \end{aligned} \quad (2)$$

Рассмотрение формул (1) и (2) показывает, что выходные напряжения преобразователя пропорциональны синусу и косинусу угла, заданного тремя десятичными разрядами (n, m, k) цифрового кода. Вес разряда по отношению к выходным данным зависит от выбора величины α_0 . На рис. 1 приведена схема преобразователя при $\alpha_0 = 36^\circ$. Цифровой код является аргументом синусных и косинусных выходных напряжений, и изменение кода от 000 до 999 соответствует изменению аргумента от 0 до $359,64^\circ$. Схема преобразователя рис. 1 может найти применение при ручном вводе кода и вводе кода с перфокарт [1].

Построение схемы преобразователя может меняться в зависимости от основания и числа разрядов кода, группировки разрядов кода по каскадам, веса старшего разряда кода. Применение двоичного кода в качестве входного параметра дает возможность значительно упростить схему преобразователя. На рис. 2 приведена схема преобразователя на 10 двоичных разрядов при весе старшего разряда 180° .

Преобразователь вырабатывает напряжения, пропорциональные синусу и косинусу углов от 0 до 90° . Диапазон от 0 до 360° получается с помощью переключателя квадрантов P_7 . Переключатель P_7 управляет двумя старшими разрядами кода (9 и 10). Разряды кода 7 и 8 управляют переключателем первого каскада P_1 . Ступень первого каскада равна весу седьмого разряда кода $22,5^\circ$. Разряды кода 5 и 6

управляют переключателем второго каскада Π_2 . Ступень второго каскада равна весу пятого разряда кода $5,625^\circ$. Для упрощения третьего каскада использованы соотношения $\sin \gamma \approx \gamma$ и $\cos \gamma \approx 1$ при $\gamma \rightarrow 0$.

Косинусная обмотка выполняется без отводов с коэффициентом трансформации, равным единице. Выработка синусных напряжений производится с помощью суммирования напряжений четырех вторичных

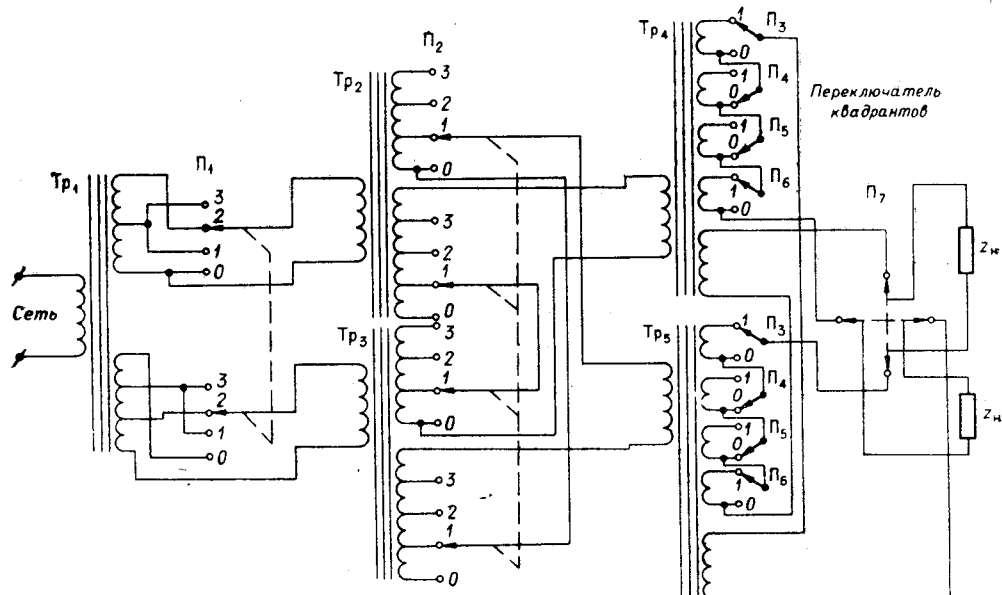


Рис. 2.

обмоток. Подключение обмоток для суммирования осуществляется переключателями Π_3 — Π_6 , управляемыми четырьмя младшими разрядами кодов. Коэффициенты трансформации обмоток равны весам соответствующих разрядов, выраженным в радианах.

Схема преобразователя рис. 2 позволяет автоматизировать управление переключателями, а также выполнять их бесконтактными.

АНАЛИЗ СХЕМЫ ПРЕОБРАЗОВАТЕЛЯ

Анализ схемы преобразователя будет проведен по схеме рис. 1. Рассмотрим нагрузку трансформатора Tp_4 при различных положениях переключателя Π_3 . Пусть $\sin(\alpha + \beta) \sin \gamma$ — выходное напряжение синусной обмотки, а $\sin(\alpha + \beta) \cos \gamma$ — косинусной обмотки. Тогда ток через синусную обмотку будет равен току через нагрузочное сопротивление z_h на косинусном выходе преобразователя $\frac{\cos(\alpha + \beta + \gamma)}{z_h}$, а ток через косинусную обмотку синусного выхода $= \frac{\sin(\alpha + \beta + \gamma)}{z_h}$. Отсюда нагрузка на синусную обмотку с учетом встречного включения обмоток трансформаторов Tp_4 и Tp_5 в этой цепи составляет

$$z_{h,c} = - \frac{\sin(\alpha + \beta) \sin \gamma z_h}{\cos(\alpha + \beta + \gamma)}, \quad (3)$$

а нагрузка на косинусную обмотку —

$$z_{h, k} = \frac{\sin(\alpha + \beta) \cos \gamma z_h}{\sin(\alpha + \beta + \gamma)}. \quad (4)$$

Нагрузка трансформатора T_{p4} , приведенная к первичной обмотке, равна

$$z'_h = \frac{\frac{z_{h, c}}{\sin^2 \gamma} \frac{z_{h, k}}{\cos^2 \gamma}}{\frac{z_{h, c}}{\sin^2 \gamma} + \frac{z_{h, k}}{\cos^2 \gamma}} = \frac{z_{h, c} z_{h, k}}{z_{h, c} \cos^2 \gamma + z_{h, k} \sin^2 \gamma}. \quad (5)$$

Подставив в (5) выражения для $z_{h, c}$ и $z_{h, k}$ из (3) и (4), после необходимых преобразований получим $z_h = z'_h$.

Путем аналогичных расчетов можно показать, что постоянство приведенной нагрузки при любых положениях переключателей соблюдается для всех трансформаторов преобразователя код — аналог.

Благодаря постоянству нагрузок трансформаторов схема преобразователя позволяет получить большую точность преобразования.

Рассмотрим схему замещения преобразователя (рис. 3), в которой для трансформаторов приняты Т-образные схемы замещения. Примем, что $|z_h| \ll |z_0|; |z_{1, 2, 3}| \ll |z_k|$. Обратимся к трансформатору T_{p1} . Общая нагрузка трансформатора, приведенная к первичной обмотке,

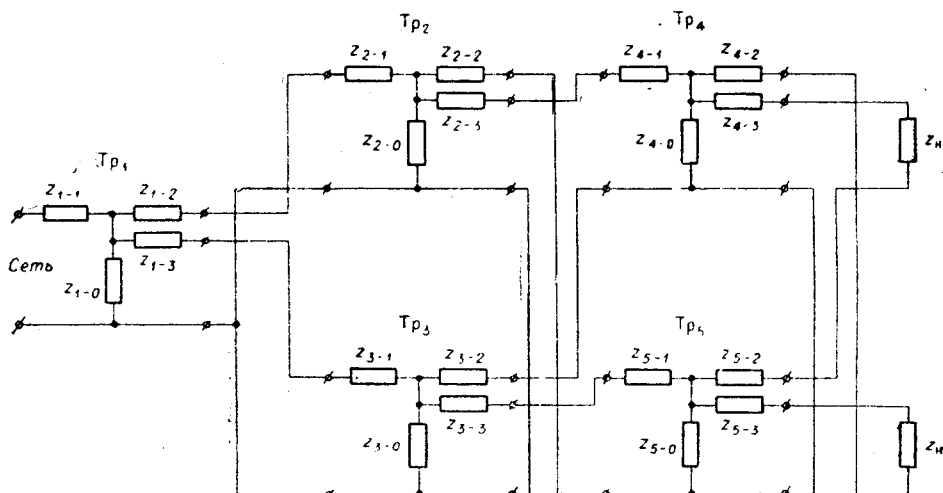


Рис. 3.

постоянна и равна z_h . В этом случае падение напряжения на сопротивлении z_{1-1} будет постоянно, т. е. произойдет некоторое изменение коэффициента трансформации, не сказывающееся на точности преобразований. Примем, что активное сопротивление обмоток пропорционально числу витков. Индуктивное сопротивление можно не учитывать, так как в маломощных трансформаторах оно мало по сравнению с активным [2]. Если сопротивление первичной обмотки равно $z_{1-2} = a$, то

сопротивления вторичных обмоток с учетом приведения составят:

$$z_{1-2} = \frac{a}{\sin \alpha}; \quad (6)$$

$$z_{1-3} = \frac{a}{\cos \alpha}. \quad (7)$$

(6) Напряжение на первичной обмотке трансформатора T_{p2} с учетом (6) равно

$$U_2 = \frac{\sin \alpha \frac{z_h}{\sin^2 \alpha}}{\frac{z_h}{\sin^2 \alpha} + \frac{a}{\sin \alpha}} = \frac{\sin \alpha z_h}{z_h + a \sin \alpha}. \quad (8)$$

Напряжение на первичной обмотке трансформатора T_{p3} с учетом (7) определяется

$$U_3 = \frac{\cos \alpha \frac{z_h}{\cos^2 \alpha}}{\frac{z_h}{\cos^2 \alpha} + \frac{a}{\cos \alpha}} = \frac{\cos \alpha z_h}{z_h + a \cos \alpha}. \quad (9)$$

Погрешность трансформатора T_{p1} может быть охарактеризована погрешностью в выработке

$$\operatorname{tg} \alpha_1 = \frac{\operatorname{Re}(U_2)}{\operatorname{Re}(U_3)}.$$

Используя выражения из (8) и (9), получим

$$\operatorname{tg} \alpha_1 = \operatorname{tg} \alpha \frac{\operatorname{Re} \left(\frac{z_h}{z_h + a \sin \alpha} \right)}{\operatorname{Re} \left(\frac{z_h}{z_h + a \cos \alpha} \right)}.$$

Отсюда погрешность в выработке $\operatorname{tg} \alpha$ соответствует

$$\Delta \operatorname{tg} \alpha = \operatorname{tg} \alpha_1 - \operatorname{tg} \alpha \approx \operatorname{tg} \alpha \frac{a (\cos \alpha - \sin \alpha) \operatorname{Re}(z_h)}{(|z_h|)^2}. \quad (10)$$

Переходим к погрешности в аргументе:

$$\alpha_1 = \operatorname{arctg} \operatorname{tg} \alpha_1;$$

$$d \alpha = \frac{d \operatorname{tg} \alpha}{1 + \operatorname{tg}^2 \alpha}.$$

Принимая $d \operatorname{tg} \alpha = \Delta \operatorname{tg} \alpha$ и подставляя значение из (10), получим

$$d \alpha \approx \sin \alpha \cos \alpha (\cos \alpha - \sin \alpha) \frac{a \operatorname{Re}(z_h)}{(|z_h|)^2}. \quad (11)$$

Значение $d \alpha$ по формуле (11) имеет максимум при $\alpha = 22,5^\circ$ или для принятой дискретности переключений при $\alpha = 36^\circ$. Оценим порядок по-

грешности, считая нагрузку активной при значениях: $a=10 \text{ ом}$; $z_n=1000 \text{ ом}$. Отсюда по формуле (11) $da = 0,00105 \text{ радиан} = 3,6'$.

Во втором и третьем каскадах преобразователя погрешность из-за сопротивления вторичных обмоток не будет иметь места, так как сопротивления в цепях выработки синусного и косинусного напряжений будут равны при любом положении переключателей:

$$z_{2-2} + z_{3-3} = z_{2-3} + z_{3-2}; z_{4-2} + z_{5-3} = z_{4-3} + z_{5-2}.$$

Погрешность при этом условии будет возникать вследствие неидентичности трансформаторов T_{p_2} и T_{p_3} или T_{p_3} и T_{p_4} из-за погрешностей изготовления. В этом случае погрешность будет на порядок меньше определенной по формуле (11).

Погрешность в трансформаторе T_{p_1} может быть скомпенсирована включением в отводы омических сопротивлений для выравнивания активных сопротивлений при различных положениях переключателя.

Другим методом компенсации погрешности может быть выполнение первого каскада из двух трансформаторов аналогично второму и третьему каскадам. Второй трансформатор — компенсационный — должен быть идентичным с трансформатором T_{p_1} . Первичная обмотка компенсационного трансформатора замыкается, а синусная и косинусная обмотки через переключатель включаются последовательно с косинусной и синусной обмотками трансформатора T_{p_1} (рис. 4).

Метод компенсации добавочными сопротивлениями не вызывает необходимости дополнительных переключений и может быть рекомендован при частоте сетевого напряжения ниже 500 гц. При частотах 500—1000 гц из-за увеличения индуктивного сопротивления обмоток трансформаторов необходимо применение компенсационного трансформатора. Приведенные методы компенсации уменьшают погрешность из-за потерь напряжения в обмотках трансформатора до величины менее 1'.

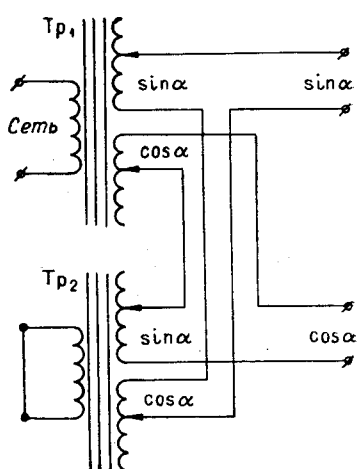


Рис. 4.

ОБЛАСТЬ ПРИМЕНЕНИЯ ПРЕОБРАЗОВАТЕЛЯ

Преобразование код — угол поворота с дистанционной передачей угла на принимающий СКВТ. Выходные синусные и косинусные напряжения преобразователя подаются через линию связи на статорные обмотки СКВТ. Роторная обмотка СКВТ соединена с усилителем, который с помощью двигателя разворачивает ротор СКВТ таким образом, чтобы напряжение в роторной обмотке стремилось к нулю.

При этом угол поворота СКВТ соответствует заданному коду. Схема обеспечивает преобразование кода в угол поворота с одновременной дистанционной передачей угла без введения дополнительной следящей системы. Наличие в настоящее время высокоточных СКВТ с погрешностью в 1' позволяет получить высокую точность преобразования. Преобразование код — угол поворота может быть осуществлено по

двухсчетной системе, что дает возможность увеличить разрядность преобразования.

Преобразование код — угол поворота с дистанционной передачей угла на принимающий сельсин. Выходные напряжения трансформаторного преобразователя $Usina$ и $Ucosa$ преобразуются с помощью схемы Скотта в фазные напряжения: $Usina$, $Usin(\alpha+120^\circ)$, $Usin(\alpha+240^\circ)$.

При подаче фазных напряжений сельсин развернется на угол α . Таким образом, схема обеспечивает преобразование код — угол поворота без применения следящей системы.

Программное управление производственными механизмами. В промышленности встречается необходимость в программированном вводе углов поворота в автоматическое устройство. Примером такой необходимости может являться программируемая расточка отверстий на координатном станке. В этом случае координаты отверстий записываются на перфокарту. Перемещение перфокарты осуществляется после расточки очередного отверстия. Код, считанный с перфокарты, подается на трансформаторный преобразователь. Трансформаторный преобразователь с помощью дистанционной следящей системы управляет установкой нового значения координат.

ВЫВОДЫ

Трансформаторный преобразователь на 11 разрядов двоичного кода был испытан в макетном исполнении в интервале температур от 0 до 40°C и имел точность: а) в контактном варианте переключений $5—10'$; б) в бесконтактном варианте переключений $10—20'$.

Анализ схемы трансформаторного преобразователя показал, что она обладает высокой потенциальной точностью. Точность может быть повышенена до $1'$ путем соответствующего подбора пар трансформаторов.

Применение трансформаторного преобразователя может быть рекомендовано в ряде практических схем.

ЛИТЕРАТУРА

1. Х. Дж. Финден, Б. А. Хорлок. The Inductosyn and its Applications.— The Journal of British Institution of Radio Engineers, 1957, № 17, p. 369.
2. Р. Х. Бальян. Трансформаторы малой мощности. Л., Судпромгиз, 1961.

Поступила в редакцию
4 апреля 1966 г.,
окончательный вариант —
22 июня 1966 г.

A. M. El'birt

DIGITAL-TO-ANALOG CONVERTER USING TRANSFORMERS

Some transformer converters of decimal and of binary codes into a-c. voltage are regarded. Error correction recommendations are given through analysis of some error origins.